

## ОПТИЧНА АКТИВНІСТЬ АКТИВОВАНИХ ХРОМОМ КРИСТАЛІВ Са-ГАЛОГЕРМАНАТІВ

Я. І. Шопа, Н. Є. ФТОМИН

*Львівський національний університет імені Івана Франка, кафедра загальної фізики,  
вул. Кирила і Мефодія, 8, Львів, 79005, Україна*

(Отримано 22 червня 2009 р.; в остаточному вигляді — 9 вересня 2010 р.)

Із функції пропускання системи PSA (polarizer-specimen-analyzer), отримано співвідношення для характеристичних азимутів поляризатора, коли досліджуваний зразок є дихроїчним. Відповідну, споріднену з НАУР методику апробовано для кристалів  $\text{Ca}_3\text{Ga}_2\text{Ge}_4\text{O}_{14}:\text{Cr}^{3+}$ . Враховано систематичні похибки й отримано температурну залежність  $g_{11}$  компоненти тензора гірації.

**Ключові слова:** поляриметрия, НАУР, оптична активність, дихроїзм.

PACS number(s): 07.60.Fs, 78.20.Ek, 78.20.Fm

### I. ВСТУП

Високоточна поляриметрия, започаткована у працях [1–3] і згодом розвинута низкою відомих наукових шкіл, посідає вагомe місце в сучасному оптичному експерименті завдяки своїй прецизійності, універсальності та інформативності. Основна її перевага — одночасне вимірювання кількох кристалооптичних параметрів та врахування систематичних похибок поляриметра. Застосування апаратури НАУР (high-accuracy universal polarimeter) до дихроїчних кристалів для вимірювання параметрів оптичної активності (ОА), лінійного двопронезаломлення (ЛДЗ), лінійного та циркулярного дихроїзму (ЛД, ЦД) реалізували різні колективи дослідників. Зокрема в [4, 5] представлено основні співвідношення для НАУР за умов, коли величина ЛД є малою. Результати ж вимірювання ОА за наявності ЦД пізніше подані в [6]. Узагальнену теорію НАУР-методу для кристалів із довільною величиною дихроїзму розвинуто в [7] і застосовано для надпровідних кристалів  $\text{Bi}_2\text{Sr}_2\text{CaCu}_2\text{O}_8$ . Однак, щоб вилучити систематичні похибки, авторам довелося вимірювати на кількох довжинах хвиль світла.

Аналогічну задачу можна розв'язати користуючись простішою методикою вимірювання осциляції азимута еліпса поляризації [8], проте вона не враховує недосконалості поляризаційних елементів схеми (поляризатор й аналізатор не дають строго лінійного поляризованого світла) і застосовна лише до кристалів із порівняно великими ОА та ЛД.

У праці [9] наведено результати досліджень дихроїчних кристалів  $\text{Ca}_3\text{Ga}_2\text{Ge}_4\text{O}_{14}:\text{Cr}^{3+}$  (CGG:  $\text{Cr}^{3+}$ ) на лазерному ( $\lambda = 633$  нм) поляриметрі з послідовним використанням схеми PSA (polarizer-specimen-analyzer) та PSCA (polarizer-specimen-compensator-analyzer), проте кількісні результати величини ОА подані лише для напрямку оптичної осі.

Оскільки запропонована тут методика споріднена з НАУР, то ми адаптували її для вимірювання температурних залежностей ОА в дихроїчних кристалах і

застосували для кристалів CGG, активованих йонами хрому. Особливу увагу звернули на вираз для функції пропускання системи PSA залежно від кутів повороту поляризатора й аналізатора. Для надійного вимірювання ЛД обмежилися коефіцієнтами при другому степені розкладу цієї функції за азимутами [10].

Зауважмо, що вибрані об'єкти досліджень, окрім ЛД, мають ще й ЦД у широкому спектральному діапазоні. Тому узагальнені робочі співвідношення для нашої методики вимірювань містять й відповідні параметри ЦД.

### II. ФУНКЦІЯ ПРОПУСКАННЯ ПОЛЯРИЗАЦІЙНОЇ СИСТЕМИ PSA ТА ХАРАКТЕРИСТИЧНІ АЗИМУТИ

Вираз для оптичного пропускання світла (відношення інтенсивності на виході до інтенсивності на вході) у системі PSA для зразка з ЛДЗ та ОА, а також вирази для трьох характеристичних азимутів [11, 12] потрібно узагальнити на кристали з ЛД та ЦД.

Отже, оптичне пропускання світла системи PSA визначаємо так [7]:

$$J(\theta, Y) = A(\theta) + B(\theta)Y + CY^2, \quad (1)$$

де  $\theta$  — азимут поляризатора;  $Y$  — кут відхилення аналізатора від положення схрещення з поляризатором;  $A, B, C$  — функції, що залежать від  $\theta$ , параметрів оптичної анізотропії кристалів і систематичних похибок неідеальних поляризаційних приладів. Зазначимо, що співвідношення (1) справедливе за умови невеликих кутів  $Y$  та  $\theta$ , що не перевищують 0.01 рад (так звана НАУР область кутів:  $Y, \theta \ll 1$ ). Тому функція оптичного пропускання в цьому випадку обмежена квадратичним розкладом стосовно кутів  $Y, \theta$ . Крім того, вираз (1) зручніше подати в матричному вигляді [4, 5]:

$$J(Y, \theta) = \begin{pmatrix} 1 & Y & Y^2 \end{pmatrix} \mathbf{C} \begin{pmatrix} 1 \\ \theta \\ \theta^2 \end{pmatrix}. \quad (2)$$

Для нашої апаратури кут  $Y = \chi - \theta$  ( $\chi$  – азимут аналізатора;  $\chi \ll 1$ ), а ненульові компоненти матриці  $\mathbf{C}$  [7] адаптовані для слабкої оптичної анізотропії кристала:

$$C_{11} = \text{const}, \quad (3)$$

$$C_{12} = 4K (\cos \Gamma - \text{ch } E) + 2(p + q) \sin \Gamma, \quad (4)$$

$$C_{13} = 2(\text{ch } E - \cos \Gamma), \quad (5)$$

$$C_{21} = 2K (\cos \Gamma - e^E) + 2 \left( p - \frac{k}{(E/\Gamma)^2 + 1} \right) \sin \Gamma, \quad (6)$$

$$C_{22} = 2(e^E - \cos \Gamma), \quad (7)$$

$$C_{31} = e^E, \quad (8)$$

де  $\text{const}$  – константа, яка не залежить від  $\theta$  і  $\chi$ , а лише від параметрів кристала та систематичних похибок апаратури, її явний вигляд не суттєвий для цієї задачі;  $\Gamma = (2\pi/\lambda)\Delta nd$  – різниця фаз для двох власних хвиль у кристалі;  $\lambda$  – довжина світлової хвилі;

$\Delta n = n_e - n_o$  – величина ЛДЗ;  $d$  – товщина зразка;  $K = [(E/\Gamma)k + k'] / [(E/\Gamma)^2 + 1]$ ;  $k$  – еліптичність власних хвиль у кристалі, що зумовлена його оптичною активністю;  $E = (2\pi/\lambda)\Delta md$  – параметр лінійного дихроїзму ( $\Delta m = m_z - m_y$ );  $m_z, m_y$  – коефіцієнти поглинання в напрямках  $z$  та  $y$ ;  $k'$  – внесок в еліптичність власних хвиль, зумовлений циркулярним дихроїзмом;  $p, q$ , – паразитні еліптичності поляризатора й аналізатора [2].

Варто зауважити, що у співвідношеннях (3–8) для компонент матриці  $\mathbf{C}$  не враховували надто малих членів, пропорційних до  $k^2, k'^2, p^2, q^2$  та  $kp, kq$  і т.д. Відомо, що зв'язок між коефіцієнтами  $C_{ij}$  та параметрами поляризації світла (азимут мінімізованих інтенсивностей, еліптичність) установили автори [13, 14], тому в граничному випадку коли  $k', E, p, q = 0$ , вирази для коефіцієнтів (5, 7, 8) збігаються з відповідними аналогами, якщо знехтувати ефектами багатократно го відбивання.

Для функції оптичного пропускання поляризаційної системи залежно від азимутів поляризатора  $\theta$  й аналізатора  $\chi$ , використовуючи співвідношення (2–8) та беручи до уваги азимутальну систематичну похибку  $\delta\chi$  (її пов'язують із тим, що кути взаємного схрещення поляризатора й аналізатора в системах РА та PSA відрізняються на цю величину), отримуємо:

$$J(\theta, \chi) = e^{-E}\theta^2 + e^E\chi^2 - 2\theta\chi \cos \Gamma + 2\theta \left[ K (\cos \Gamma - e^{-E}) + \left( q + \frac{k}{(E/\Gamma)^2 + 1} \right) \sin \Gamma - \delta\chi \cos \Gamma \right] + 2\chi \left[ K (\cos \Gamma - e^E) + \left( p - \frac{k}{(E/\Gamma)^2 + 1} \right) \sin \Gamma + e^E\delta\chi \right] + \text{const}. \quad (9)$$

Рівняння (9) описує поверхню другого порядку в системі координат  $(\theta, \chi)$ . Перетин цієї поверхні площинами однакової інтенсивності ( $J = \text{const}$ ) дає набір еліпсів, що формують т. зв. НАУР-мапу [4]. Зазначимо, що геометричні параметри еліпсів на мапах змінюються залежно від різниці фаз  $\Gamma$ , тому цю обставину можна використати для опрацювання результатів експерименту [15]. Для  $k' \rightarrow 0, E \rightarrow 0$  це рівняння набуває такого ж вигляду, як у праці [11]. Крім того, пропускання системи PSA представлено без ізотропного множника, пов'язаного з поглинанням Бугера, який зазвичай входить у матрицю Джонса кристала [16]. Але його можна опустити, оскільки він не впливатиме на величини, що вимірюються під час експерименту.

Очевидно, що різницю фаз  $\Gamma$  під час експерименту можна змінювати скануванням довжини хвилі  $\lambda$ ; використанням термооптичного ефекту (зміна  $\Delta n$  від температури); зміною довжини оптичного шляху променя, що проходить крізь кристал [17].

Розгляньмо вирази для трьох характеристичних

азимутів поляризатора  $\theta_i$  ( $i=0, 1, 2$ ) [11], геометричне положення яких у координатах  $(\theta, \chi)$  даватиме інформацію про величини ЛДЗ, ЛД та ОА. Вираз для положень мінімумів відносної інтенсивності, які виникають під час сканування азимута  $\chi$  аналізатора, виглядає як рівняння прямої:

$$\chi(\theta) = \frac{\theta \cos \Gamma}{e^E} - \frac{1}{e^E} \left[ K (\cos \Gamma - e^E) + \left( p - \frac{k}{(E/\Gamma)^2 + 1} \right) \sin \Gamma + e^E\delta\chi \right]. \quad (10)$$

Вимірюючи кутовий коефіцієнт  $\cos \Gamma / e^E$  нахилу цієї прямої для кожного значення температури та додатково аналізуючи НАУР-мапи, отримуємо величину параметра лінійного дихроїзму  $E$  та різницю фаз  $\Gamma$ , яка прямо пропорційна величині температурного приросту ЛДЗ [10].

Точка перетину прямих  $\chi(\theta)_{\text{PSA}}$  у системі PSA та  $\chi(\theta)_{\text{PA}} = \theta + \theta'$  у системі PA (polarizer-analyzer) визначатиме інваріантний азимут  $\theta_0$ :

$$\theta_0 = -\frac{e^E}{e^E - \cos \Gamma} \delta\chi + K + \left( \frac{k}{(E/\Gamma)^2 + 1} - p \right) \frac{\sin \Gamma}{e^E - \cos \Gamma}, \quad (11)$$

де  $\theta'$  — початок відліку азимута. В граничному випадку ( $k', E \ll 1$ ) вирази (10) та (11) збігаються з аналогічними співвідношеннями для дихроїчних кристалів [18, 19] з точністю до знака величин  $k'$  та  $\delta\chi$  для (10), (11).

Другим характеристичним азимутом, який вимірюють за цією методикою, є  $\theta_1$ . Це азимут поляризатора, при якому еліптичність світла на виході системи PSA мінімальна. Йому відповідає глобальний мінімум інтенсивності, який визначається з умов:  $(\partial J/\partial\chi)_\theta = 0$  та  $(\partial J/\partial\theta)_\chi = 0$ . Зокрема одержуємо

$$\theta_1 = \left( \frac{k}{(E/\Gamma)^2 + 1} - p \right) \text{ctg} \Gamma + K - \frac{e^E}{\sin \Gamma} \left( q + \frac{k}{(E/\Gamma)^2 + 1} \right). \quad (12)$$

Третій характеристичний азимут  $\theta_2$  шукаємо за умови мінімуму пропускання при схрещених поляризаторах. Підставляючи у вираз (10) замість  $\chi$  рівняння прямої для системи ПА, тобто  $\chi = \theta + \theta'$ , та мінімуючи його за азимутом  $\theta$ , знаходимо:

$$\theta_2 = -\frac{e^E - \cos \Gamma}{2(\text{ch} E - \cos \Gamma)} \delta\chi + K - \frac{(p+q) \sin \Gamma}{2(\text{ch} E - \cos \Gamma)}. \quad (13)$$

Це фактично кут прив'язки, який добре відомий у методиці НАУР. Коли  $E, k' \rightarrow 0$ , співвідношення (11, 12, 13) спрощуються до виразів, що подані у [20].

Характеристичні азимуты  $\theta_0, \theta_1, \theta_2$  вимірюють незалежно, але завжди з точністю до адитивної величини  $\theta'$ , оскільки невідомо, де перебуває початок відліку в системі координат  $(\theta, \chi)$ . Для вилучення  $\theta'$  достатньо вираховувати різниці азимутів:  $\Delta\theta_{01} = \theta_0 - \theta_1$ ,  $\Delta\theta_{02} = \theta_0 - \theta_2$  та  $\Delta\theta_{12} = \theta_1 - \theta_2$ . Так, зокрема, для різниці  $\Delta\theta_{02}$  можна показати, що

$$2\Delta\theta_{02} (e^E - \cos \Gamma) (\text{ch} E - \cos \Gamma) = -\delta\chi \sin^2 \Gamma + \sin \Gamma (2k \text{ch} E + qe^E - pe^{-E}) - \sin \Gamma \cos \Gamma (2k - \gamma). \quad (14)$$

де  $\gamma = p - q$ . Беручи до уваги малу величину лінійного дихроїзму  $E$ , будемо упускати вираз  $(E/\Gamma)^2$  у всіх співвідношеннях, що містять цей параметр.

Доцільно також подати співвідношення, які можна використовувати для перевірки правильності вимірювання. Це одна із суттєвих переваг цієї методики порівняно із НАУР [11]. Так, із співвідношень (11), (12) та (13) знаходимо:

$$\Delta\theta_{01} \frac{\sin^2 \Gamma}{(e^E + e^{-E} - 2 \cos \Gamma) e^E} = \Delta\theta_{02}, \quad (15)$$

$$\Delta\theta_{01} \frac{(e^E - \cos \Gamma)^2}{(e^E + e^{-E} - 2 \cos \Gamma) e^E} = -\Delta\theta_{12}. \quad (16)$$

Зафіксовані під час експерименту відхилення від цих умов указують на помилки вимірювань. Різниці між характеристичними азимутами аналітично залежні між собою, тому достатньо розраховувати тільки одну з них. Проте експериментально вони незалежні, що дає змогу надійно встановлювати якість даних і вилучати промахи. Порушення співвідношень (15) та (16) можуть виникати, зокрема, внаслідок ефектів багатократного відбивання світла у зразку, який зазвичай виготовляють із якісними паралельними поверхнями, створюючи умови для таких явищ. Зазначимо, що ефекти багатократного відбивання світла (БВС) проявляють себе у визначеннях лінійного дихроїзму в досліджуваних кристалах [10], а їхній вплив на основні поляризаційні параметри докладно представлено в [13, 14]. На жаль, кількість невідомих величин нашої задачі значна, тому торкатися таких ефектів у цьому наближенні ми не будемо. Без сумніву, що врахування БВС передбачатиме застосування додаткових вимірювальних процедур.

Апаратура, на якій реалізовано описану методику, є комп'ютеризованим високоточним поляриметром з робочою довжиною хвилі  $\lambda = 633$  нм. Значну увагу зосереджено на контролі інтенсивності лазера, якості оптико-механічної системи, стабілізації температури зразка в термостаті.

### III. ЕКСПЕРИМЕНТАЛЬНІ РЕЗУЛЬТАТИ ТА ЇХНЄ ОБГОВОРЕННЯ

#### A. Об'єкти дослідження

Галогерманати є перспективними матеріалами для квантової й акустoeлектроніки поряд із такими відомими кристалами, як  $\text{LiNbO}_3$  та  $\alpha$ -кварц [21, 22]. CGG належить до структурного типу лангаситу  $\text{La}_3\text{Ga}_5\text{SiO}_{14}$ , який своєю чергою має однакову з  $\alpha$ -кварцом точкову групу симетрії 32 та може існувати у двох енантіоморфних формах. Зважаючи на те, що ОА  $\alpha$ -кварцу давно стала еталоном для порівняння, точне її вимірювання в кристалах кальцієвого галогерманату, є без сумніву, цікавим.

Кристали  $\text{Ca}_3\text{Ga}_2\text{Ge}_4\text{O}_{14}$  одновісні, додатні ( $n_e > n_o$ ) [23], оптично активні, з діагональним тензором гірації й двома незалежними його компонентами:  $g_{11} = g_{22}$  та  $g_{33}$ .

Результати докладних спектральних і кристалооптичних досліджень цих кристалів подано у праці [8]. Особливістю цих матеріалів є те, що при активації їх йонами хрому  $\text{Cr}^{3+}$  у них спостерігаємо помітний лінійний та циркулярний дихроїзм, для вивчення яких і застосовні методи високоточної поляриметрії.

Для поляриметричних досліджень параметрів ЛДЗ, ЛД та ОА був підготовлений зразок кристала CGG:  $\text{Cr}^{3+}$ , товщиною 0.72 мм, вирізаний паралельно до оптичної осі. Концентрація домішки хрому, за оцінками рентгенівського мікроаналізу на растровому електронному мікроскопі, є меншою від 0.1 ат. %.

Різницю фаз  $\Gamma$  змінювали нагріванням кристала від 295 до 353 К для забезпечення її приросту в межах до  $2\pi$ . Абсолютне значення  $\Gamma$  можна розрахувати лише за умови точного визначення ЛДЗ  $\Delta n$  і товщини зразка  $d$ . Оскільки ці величини одночасно зазнають температурних змін, то для таких розрахунків потрібні результати дилатометричних та кристалооптичних вимірювань [24].

### В. Характеристичні азимути системи PSA

Вимірювання проводили для двох орієнтацій зразка, тобто з поворотом його в поляризаційній системі на кут  $90^\circ$  навколо напрямку поширення лазерного променя. Використання цієї додаткової процедури потрібне для наступного вилучення систематичних похибок, тому що при цьому деякі величини ( $\Gamma$ ,  $E$ ,  $k$ ,  $k'$ ) у співвідношеннях (11–13) змінюють свій знак на протилежний, а паразитна еліптичність  $p$  поляризатора залишається незмінною.

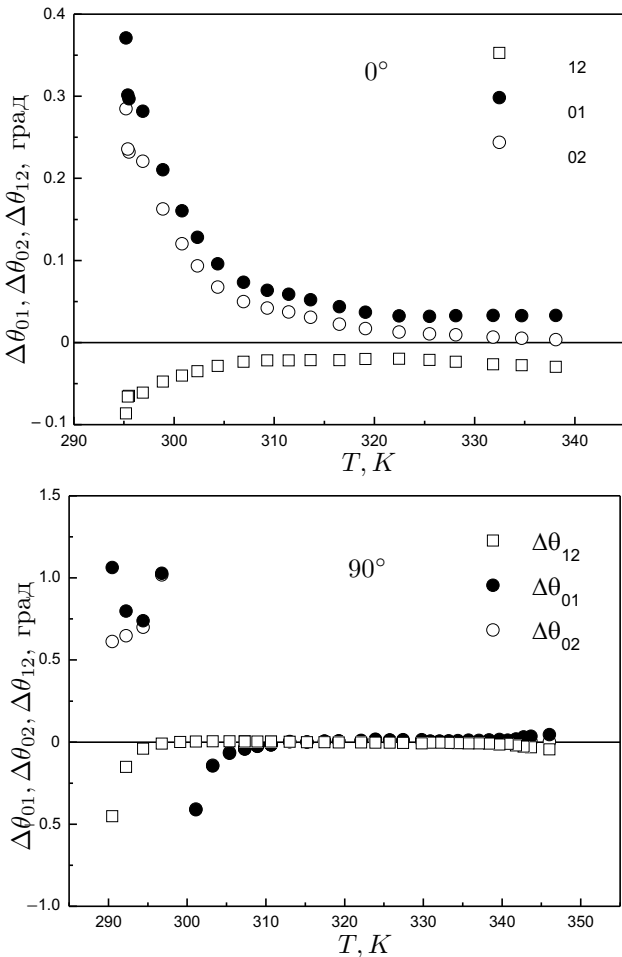


Рис. 1. Температурні залежності різниць  $\Delta\theta_{01}$ ,  $\Delta\theta_{02}$ ,  $\Delta\theta_{12}$  між характеристичними азимутами для двох ( $0$  та  $90^\circ$ ) орієнтацій кристала CGG в поляризаційній системі.

На рис. 1 зображені температурні залежності різниць  $\Delta\theta_{01}$ ,  $\Delta\theta_{02}$ ,  $\Delta\theta_{12}$  між трьома характеристичними азимутами поляризатора. Існують ділянки, в околі

яких точність вимірювання характеристичних азимутів невисока, що й відображається на різницях характеристичних азимутів. Так, зокрема, після повертання зразка на кут  $90^\circ$  величина  $e^{-E} - \cos \Gamma \approx 0$  при температурі  $T \approx 300$  К, а характеристичний азимут  $\theta_0$ , згідно зі співвідношенням (11), має особливість, яка не характерна для недихроїчних кристалів. Це ж стосується температур, в околі яких величина  $\cos \Gamma \approx 1$ .

### С. Вилучення систематичних похибок

Для встановлення температурної залежності величини ОА потрібно насамперед вилучити систематичні похибки  $p$ ,  $q$ ,  $\delta\chi$ .

Передусім, як видно з рис. 2, поведінка величини характеристичного азимута  $\theta_2$  залежно від  $\sin \Gamma/2 (\text{ch } E - \cos \Gamma)$  добре описується рівнянням прямої, а величину  $p+q$  можна визначити з кутового коефіцієнта її нахилу. Перший доданок у співвідношенні (13) не буде відчутно впливати на кутовий коефіцієнт нахилу прямої на рис. 2. Це легко перевірити, якщо скористатися деяким перетворенням цього виразу:

$$-\frac{e^E - \cos \Gamma}{2(\text{ch } E - \cos \Gamma)} \delta\chi = -\frac{\text{ch } E - \cos \Gamma + \text{sh } E}{2(\text{ch } E - \cos \Gamma)} \delta\chi \quad (17)$$

$$= -\frac{1}{2} \delta\chi - \frac{\text{sh } E}{2(\text{ch } E - \cos \Gamma)} \delta\chi.$$

Оскільки величина добутку  $\text{sh } E \delta\chi$  є малою ( $E=0.13$  [10]), то суттєвого внеску в кутовий коефіцієнт прямої рис. 2 він не даватиме. Зрозуміло, для довільної величини параметра лінійного дихроїзму процедуру знаходження величини  $p+q$  потрібно було б коректувати. Так, для двох орієнтацій зразка матимемо:  $(p+q)_0 = (2.56 \pm 0.03) \times 10^{-3}$ ,  $(p+q)_{90} = (2.83 \pm 0.02) \times 10^{-3}$ , а усереднений за модулем результат дорівнює  $\overline{p+q} = (2.69 \pm 0.03) \times 10^{-3}$ . Параметр лінійного дихроїзму  $E$  та зміну різниці фаз  $\Gamma$  для цих кристалів ми подали раніше у праці [10].

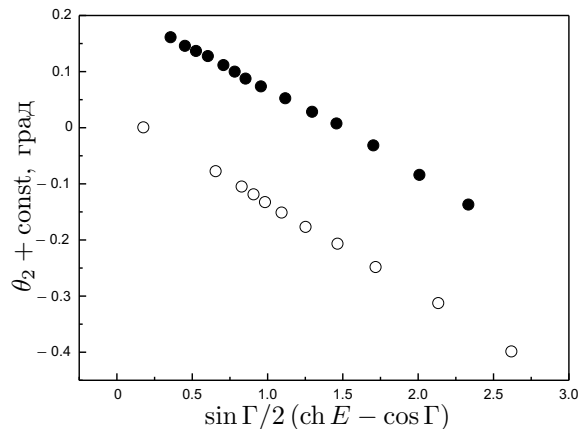


Рис. 2. Залежність характеристичного азимута  $\theta_2$  від величини  $\sin \Gamma/2 (\text{ch } E - \cos \Gamma)$ . Точки  $\bullet$  та  $\circ$  відповідають двом ( $0$  та  $90^\circ$ ) орієнтаціям зразка в поляризаційній системі.

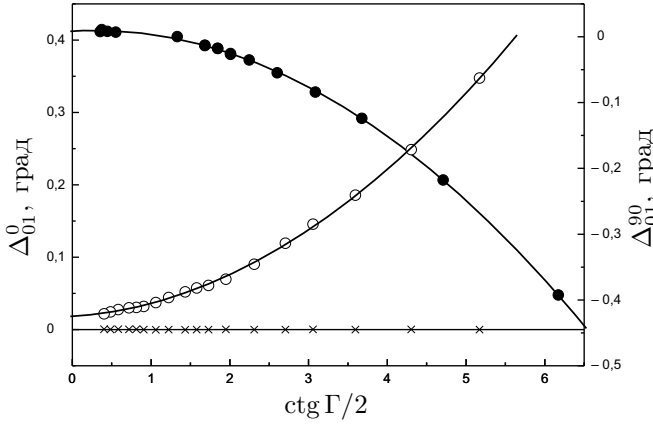


Рис. 3. Залежність  $\Delta_{01}^{0,90} = \Delta\theta_{01}(1 - e^{\mp E} \cos \Gamma) \operatorname{ctg} \Gamma/2$  від величини  $\operatorname{ctg}(\Gamma/2)$ . Точки  $\circ$  та  $\bullet$  відповідають двом ( $0$  та  $90^\circ$ ) орієнтаціям зразка в поляризаційній системі;  $\times$  — відповідають  $\Delta_{\text{err}}$ .

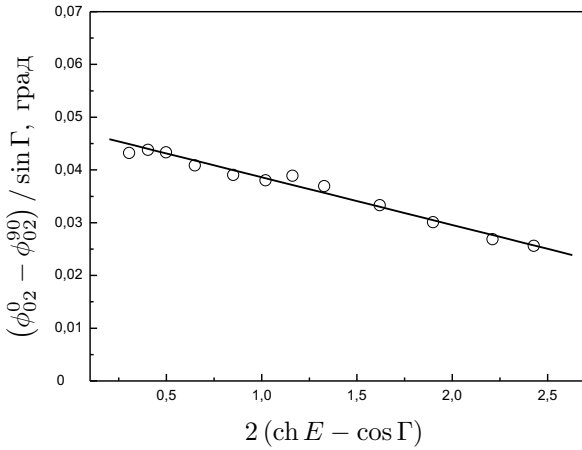


Рис. 4. Залежність величини  $(\phi_{02}^0 - \phi_{02}^{90}) / \sin \Gamma$  від  $2(\operatorname{ch} E - \cos \Gamma)$ .

Азимутальну систематичну похибку можна визначити, якщо використати одну з різниць між характеристичними азимутами. Так, зокрема, для різниці  $\Delta\theta_{01}$  співвідношення  $\Delta\theta_{01}(1 - e^{-E} \cos \Gamma) \operatorname{ctg}(\Gamma/2)$  можна представити як функцію типу  $y(x) = a + bx + cx^2$  щодо величини  $\operatorname{ctg}(\Gamma/2)$  (де  $b = \delta\chi$ ). Тому, апроксимуючи відповідні залежності рис. 3, матимемо величину азимутальних систематичних похибок для двох орієнтацій зразка в поляризаційній схемі —  $\delta\chi_0 = (-1.2 \pm 0.3) \times 10^{-4}$  та  $\delta\chi_{90} = (-1.1 \pm 0.2) \times 10^{-4}$ .

Позначивши величину, яка визначається співвідношенням (14), як  $\phi_{02}$  та врахувавши, що різниця фаз  $\Gamma$  та еліптичність  $k$  змінюють свій знак на протилежний при розвертанні зразка на кут  $90^\circ$  в напрямку проходження світла, матимемо вираз, який можна використати для знаходження величини  $\gamma$ :

$$\phi_{02}^0 - \phi_{02}^{90} = -2\gamma \sin \Gamma (\operatorname{ch} E - \cos \Gamma). \quad (18)$$

Так, на рис. 4 показано залежність  $(\phi_{02}^0 - \phi_{02}^{90}) / \sin \Gamma$  від величини  $2(\operatorname{ch} E - \cos \Gamma)$  та результат апроксимації прямою лінією. В цьому випадку матимемо

$\gamma = (1.6 \pm 0.1) \times 10^{-4}$ . Тоді можемо визначити величину паразитних еліптичностей:  $p = 14.3 \times 10^{-4}$ ,  $q = 12.7 \times 10^{-4}$ .

Оцінку точності результатів вимірювання перевіряли за допомогою співвідношень (15) та (16). Числове значення ще однієї введеної величини  $\Delta_{\text{err}} = \Delta\theta_{02} - \Delta\theta_{01} \sin^2 \Gamma / (e^E + e^{-E} - 2 \cos \Gamma) e^E$  у нас не перевищувало  $1.4 \times 10^{-5}$  (менше ніж у [11]), що вказує на надійність одержаних експериментальних результатів.

#### Д. Оптична активність

Величина компоненти  $g_{11}$  тензора гірації пов'язана з еліптичністю  $k$  власних хвиль в одновісному кристалі простим співвідношенням [25]:  $g_{11} = 2k\bar{n}\Delta n$  (тут  $\bar{n}$  — середній показник заломлення для напрямку поширення світла). Для кристалу CGG показники заломлення та двопронезаломлення є відомими для довжини хвилі 633 нм:  $n_o = 1.7965$ ,  $n = 1.8204$ , а величина ЛДЗ  $\Delta n = 0.0239$  [8]. Тоді, використовуючи значення температурного приросту двопронезаломлення [10], можемо визначити, як змінюватиметься величина еліптичності  $k$  та компоненти тензора гірації  $g_{11}$  для нашого зразка (рис. 5).

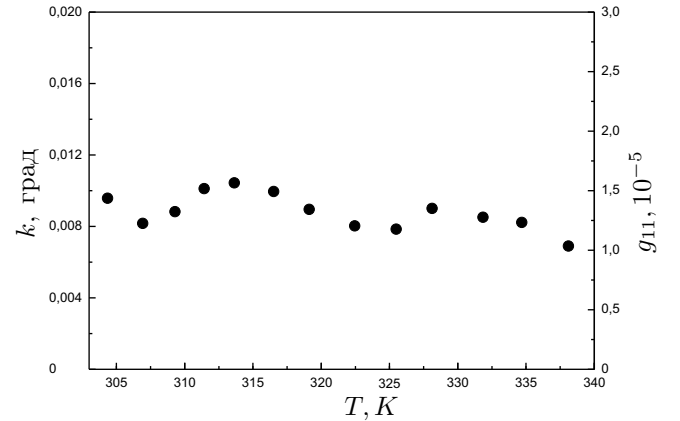


Рис. 5. Температурна залежність еліптичності власних хвиль  $k$  та компоненти  $g_{11}$  тензора гірації в кристалах  $\text{Ca}_3\text{Ga}_2\text{Ge}_4\text{O}_{14}:\text{Cr}^{3+}$ .

За нашими даними, ОА кристалів CGG перпендикулярно до оптичної осі майже не змінюється в температурному діапазоні 300–340 К, а значення  $g_{11} = (1.3 \pm 0.2) \times 10^{-5}$ . За вимірюваннями на НАУР [26,27], для кварцу величина  $g_{11} = (5.9 \pm 0.4) \times 10^{-5}$  за тих же умов, тобто більша, хоча в деяких кристалів структури лангаситу питома повертання площини поляризації вздовж оптичної осі аномально велике [28].

Величини паразитних еліптичностей поляризатора та аналізатора  $p$ ,  $q$  виявилися приблизно на порядок більшими, ніж їхні аналоги, отримані для недихроїчних кристалів на тій же апаратурі та за аналогічною методикою. Маємо аналогічне підтвердження того факту, що систематичні похибки не

сталі і змінюються з кожним проведеним експериментом [29–31]. Що ж до величини кутової похибки  $\delta\chi$ , то вона типова для таких вимірювань. Отже, одержані тут величини  $p$  та  $q$  вказують на важливість їх урахування під час виведення робочих співвідношень.

#### IV. ВИСНОВКИ

1. Показано, що поляриметричну методику, яка ґрунтується на визначенні трьох характеристичних азимутів, можна поширити на дихроїчні кристали. Незважаючи на співіснування в них ЛДЗ, ОА, ЛД та ЦД, знайдено оптимальні ро-

бочі співвідношення для опрацювання експериментальних даних і розділення внесків від цих ефектів, за винятком ЦД.

2. Розраховано паразитні похибки поляриметричного експерименту. Для дихроїчного зразка вони виявились більшими, зокрема  $p$  та  $q$ , у порівнянні з кристалами без дихроїзму на противагу азимутальній систематичній похибці, значення якої типове для таких експериментів.
3. Для кристалів  $\text{Ca}_3\text{Ga}_2\text{Ge}_4\text{O}_{14}:\text{Cr}^{3+}$  отримано величину компоненти  $g_{11}$  тензора гірації та встановлено, що в інтервалі температур 300–340 К вона не зазнає суттєвих змін.

- 
- [1] J. Kobayashi, Y. Uesu, J. Appl. Cryst. **16**, 204 (1983).  
 [2] J. Kobayashi, Y. Uesu, H. J. Takahashi, J. Appl. Cryst. **16**, 212 (1983).  
 [3] J. Kobayashi, T. Asahi, S. Takahashi, A. M. Glazer, J. Appl. Cryst. **21**, 479 (1988).  
 [4] J. R. L. Moxon, A. R. Renshaw, J. Phys.: Condens. Matter. **2**, 6807 (1990).  
 [5] E. Dijkstra, H. Meekes, M. Kremers, J. Phys. D **24**, 1861 (1991).  
 [6] J. R. L. Moxon, A. R. Renshaw, I. J. Tebbut, J. Phys. D **24**, 1187 (1991).  
 [7] J. Kobayashi, T. Asahi, M. Sakurai, M. Takahashi, K. Okubo, Phys. Rev. B **53**, 11784 (1996).  
 [8] К. А. Калдыбаев, А. Ф. Константинова, З. Б. Перекалина, *Гиротропия одноосных поглощающих кристаллов* (ISPIN, Москва, 2000).  
 [9] Я. І. Шопя, А. С. Носенко, М. О. Кравчук, А. А. Сельський, Укр. фіз. журн. **43**, 1002 (1998).  
 [10] Y. Shopa, N. Ftomyn, Ukr. J. Phys. Opt. **7**, 183 (2006).  
 [11] Я. І. Шопя, Журн. фіз. досл. **5**, 70 (2001).  
 [12] Y. Shopa, Ukr. J. Phys. Opt. **2**, 58 (2001).  
 [13] O. S. Kushnir, J. Opt. A: Pure Appl Opt. **5**, 478 (2003).  
 [14] O. S. Kushnir, Ukr. J. Phys. Opt. **5**, 87, (2004).  
 [15] Y. Shopa, N. Ftomyn, Proc. SPIE **7008**, 70081Q (2008).  
 [16] А. Ярив, П. Юх, *Оптические волны в кристаллах* (Москва, Мир, 1987).  
 [17] W. Kaminsky, Rep. Prog. Phys. **63**, 1575 (2000).  
 [18] O. S. Kushnir, Y. Shopa, O. Vlokh, I. Polovinko, S. Sveleba, J. Phys.: Condens. Matter **5**, 4759 (1993).  
 [19] O. S. Kushnir, O. G. Vlokh, Proc. SPIE, **3094**, 88 (1997).  
 [20] Я. І. Шопя, Л. П. Луців-Шумський, А. Є. Фтомин, Журн. фіз. досл. **8**, 84 (2004).  
 [21] H. Kong *et. al.*, J. Crystal Growth. **254**, 360 (2003).  
 [22] B. V. Mill, A. A. Klimenkova, B. A. Maximov, V. N. Molchanov, D. Yu. Pushcharovsky, Crystallogr. Rep. **52**, 785 (2007).  
 [23] А. А. Каминский, Л. К. Аминов, В. Л. Ермолаева *и др.*, *Физика и спектроскопия лазерных кристаллов* (Наука, Москва, 1986).  
 [24] М. О. Романюк, *Кристаллооптика* (ІЗМН, Київ, 1997).  
 [25] Ю. И. Сиротин, М. П. Шаскольская, *Основы кристаллофизики* (Наука, Москва 1979).  
 [26] P. Gómez-Garrido, C. Hernández-Rodríguez, J. Opt. Soc. Am. B. **15**, 1147 (1998).  
 [27] C. Hernández-Rodríguez, P. Gómez-Garrido, J. Phys. D: Appl. Phys. **33**, 2985 (2000).  
 [28] H. Qi, A. Wei, D. Yuan, Mater. Sci. Eng. B **117**, 143 (2005).  
 [29] J. Etxebarria, in: *Proceedings of the International Conference on Aperiodic Crystals, Les Diablerets*, ed. by G. Chapuis, W. Paciorek (World Scientific, Singapore, 1994), p. 219.  
 [30] C. Hernández-Rodríguez, P. Gómez-Garrido, S. Veintemillas, J. Appl. Cryst. **33**, 938 (2000).  
 [31] C. L. Folcia, J. Ortega, J. Etxebarria, J. Phys. D: Appl. Phys. **32**, 2266 (1999).

#### OPTICAL ACTIVITY OF CHROMIUM-DOPED Ca-GALLOGERMANATE CRYSTALS

Y. I. Shopa, N. Y. Ftomyn

*Ivan Franko National University of Lviv, Department for General Physics,  
8, Kyryla i Mefodija St., Lviv, UA-79005, Ukraine, e-mail: shopa@physics.wups.lviv.ua*

On the basis of transmission function of PSA (polarizer-specimen-analyzer) a system of the relation for characteristic azimuths of a polarizer were obtained when the research specimen were dichroic. The corresponding technique related to HAUP was approved for  $\text{Ca}_3\text{Ga}_2\text{Ge}_4\text{O}_{14}:\text{Cr}^{3+}$  crystals. Some systematic errors were considered and the temperature dependence of the gyration tensor  $g_{11}$  component was obtained.